

شبیه‌سازی گاز دوبعدی در AlGaN/GaN HEMT و بررسی ولتاژ شکست آن

روحیم فائز (دانشیار)

دانشکده‌ی مهندسی برق، دانشگاه صنعتی شریف

از چند ساختاره‌ی AlGaN/GaN در ادوات قدرت استفاده می‌شود بنابراین داشتن چگالی جریان و ولتاژ شکست بسیار مهم است. در قسمت اول این نوشتار، اثر پارامترهای مختلف بر چگالی گاز دوبعدی الکترون بررسی شده و بهترین حالت‌ها مشخص شده‌اند. همچنین نشان داده شده است که در بعضی حالات حفره‌ها در سطح فوقانی AlGaN جمع می‌شوند، اما به علت وجود ترازهای تله در هیچ آزمایشی مشاهده نشده‌اند. در بخش بعدی اثر وجود تله‌ها بر چگالی گاز دوبعدی مورد بحث قرار گرفته است. در انتها درباره‌ی روش‌های زیادکردن ولتاژ شکست بحث شده و با شبیه‌سازی برای یک حالت نحوه‌ی زیادشدن ولتاژ شکست نشان داده شده است.

دوبعدی الکترون و همچنین اثر ترازهای تله مورد بررسی واقع شده است. سپس درباره‌ی روش‌های زیادکردن ولتاژ شکست بحث شده، و با شبیه‌سازی یک حالت، زیاد شدن ولتاژ شکست نشان داده شده است.

اثر عوامل مختلف بر چگالی گاز دوبعدی الکترون
در HEMT ساخته شده از AlGaN/GaN سه عامل در ایجاد گاز دوبعدی الکترونی اثر دارد. دو تا از این عوامل عبارت اند از قطبی شدگی نقطه‌بی و قطبی شدگی پیزو الکتریک، که برای محاسبه‌ی اثر آنها از روابط داده شده استفاده می‌شود. سومین عامل اختلاف E_c بین دو نیمه‌های دوبعدی است که با حل معادلات نیمه‌های اثر آن در نظر گرفته می‌شود.

قطبی شدگی نقطه‌بی بر اثر وجود اتم‌های مثبت و منفی N و Ga حاصل می‌شود و رابطه‌ی آن به صورت زیراست: $[14]$ (بر حسب Cm^{-2})

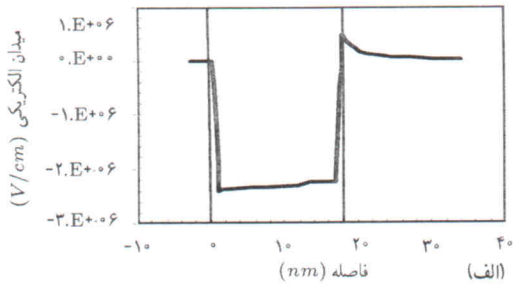
$$P_{sp} = -0.09x + 0.034(1-x) + 0.021x(1-x) \quad (1)$$

x درصد Al موجود در AlGaN است. اختلاف قطبی شدگی در مزرعه جسم باعث ایجاد بار سطحی بین آن دو می‌شود. قطبی شدگی پیزو الکتریک بر اثر اختلاف ثابت شبکه‌ی GaN و AlGaN تشکیل می‌شود. این اثر در ضخامت‌های کم عمل می‌کند. در نتیجه فقط در لایه‌ی AlGaN وجود دارد. موقعی که رشد در جهت

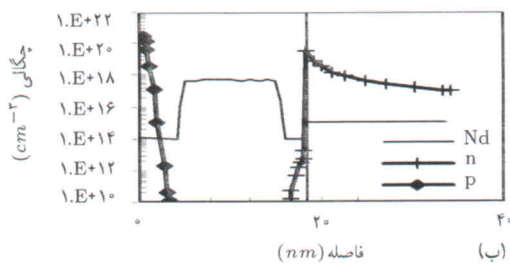
مقدمه

ادوات ساخته شده با GaN به علت داشتن E_g نسبتاً زیاد می‌توانند در درجه حرارت زیاد و ولتاژ بالا کار کنند. به علت اختلاف زیاد E_c بین AlGaN و GaN (تا ۱/۷۸ الکترون ولت برای AlN) $[1]$ همراه با میدان‌های قطبی شدگی پیزو الکتریک و نقطه‌بی باعث می‌شود که چگالی دوبعدی زیاد ($حدود 10^{13} cm^{-2}$) در مرز دو نیمه‌های تشکیل شود. $[2, 3]$ محاسبات مونته‌کارلو نشان می‌دهد که سرعت الکترون می‌تواند تا $2/5 \times 10^7 cm/sec$ برسد. $[1]$ این موضوع باعث می‌شود که چگالی جریان $1/48 A/mm$ دست‌یافتنی باشد. $[4]$ همچنین برای این ادوات g_m با مقدار $400 ms/mm$ $[5]$ ، و فرکانس قطع بیشتر از $120 GHz$ $[6]$ به دست آمده است. به علت بزرگ بودن میدان الکتریکی بحرانی در $2 MV/cm$ $[7]$ دست‌یابی به ولتاژ شکست بیشتر از V_{900} $[8]$ ، و توان بالای $16.5 W/mm$ امکان‌پذیر است. $[9]$

با توجه به مزیت‌های فوق، تحقیقات زیادی روی GaN انجام می‌گیرد که از لحظه تکنولوژی فعلاً در مراحل اولیه‌اند و هنوز باید کار زیادی روی آن انجام گیرد. مثلاً ترازهای تله هنوز کاملاً شناخته شده نیستند $[10-12]$ ، و بعد از شناخت این ترازها باید عامل ایجاد آنها را شناسایی، و نحوه‌ی کنترل آنها را پیدا کرد. مسلماً برای شبیه‌سازی دقیق باید درباره‌ی ترازهای تله اطلاعات کافی داشت. در این نوشتار شبیه‌سازی با استفاده از اطلاعات موجود انجام گرفته است. برای شبیه‌سازی از برنامه SILVACO که یک برنامه‌ی فضای دوبعدی است استفاده شده است. $[12]$ در بخش بعد، اثر پارامترهای مختلف در زیادکردن چگالی گاز



(الف)



(ب)

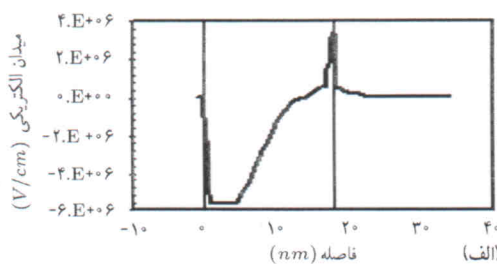
شکل ۱. ابرهای ایجاد شده در اثر دوقطبی نقطه‌بی و پیزوالکتریک و همچنین بار ناخالصی یونیزه شده.

(۱۰۰) باشد رابطه‌ی آن چنین است: [۱۵]

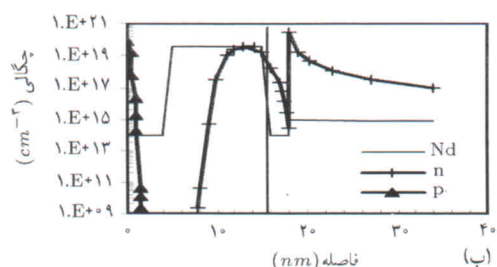
$$P_{pz} = 2(e_{21} - e_{22}c_{21}/c_{22})u_{xx} \quad (2)$$

که در آن c_{21} و e_{22} ثابت‌های پیزوالکتریک و u_{xx} مؤلفه‌ی فشار هستند. شکل ۱ ابرهای ایجاد شده در اثر قطبی شدگی نقطه‌بی و پیزوالکتریک را نشان می‌دهد. E_1 و E_2 به ترتیب میدان الکتریکی در سطح فوقانی وزیرین AlGaN هستند.

برای شبیه‌سازی از برنامه‌ی دوبعدی SILVACO استفاده شده که معادلات رانش - نفوذ را همراه با معادله‌ی پواسون حل می‌کند. البته در این برنامه نمی‌توان اثر قطبی شدگی را مستقیماً وارد کرد. راه حل انتخاب شده این بوده است که چگالی ترازهای تله طوری اضافه شده‌اند که بتوانند اثر قطبی شدگی را در محاسبات وارد کنند. در این نوشтар یک ساختار پایه برای AlGaN فرض شده است. اثر تغییرات پارامترهای مختلف مثل چگالی ناخالصی، ضخامت این لایه، درصد Al و تغییرات در سطح بالای لایه بررسی می‌شود. در ساختار پایه ضخامت لایه‌ی 18AlGaN نانومتر فرض می‌شود که ۵ نانومتر بالا و ۳ نانومتر پایین بدون ناخالصی، و در 10 نانومتر بقیه چگالی ناخالصی برابر 10^{19}cm^{-3} است. Al موجود 25 درصد است. [۱۶]



(الف)



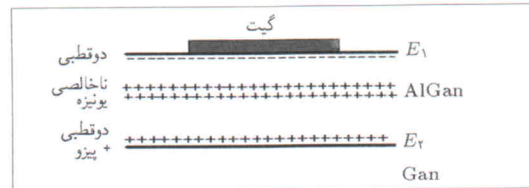
(ب)

شکل ۲. (الف) میدان الکتریکی، (ب) چگالی ناخالصی، چگالی الکترون و چگالی حفره در چگالی ناخالصی $5 \times 10^{17}\text{cm}^{-3}$.

در ضمن با زیاد شدن چگالی ناخالصی، اثر E_1 در مرز کمتر شده، و بدین ترتیب E_2 بزرگ‌تر شده تعداد الکترون‌های بیشتری جذب مرز می‌شوند و چگالی الکترون کاتال بیشتر می‌شود.

ب) اثر ضخامت لایه‌ی AlGaN

در ضخامت لایه‌یی که اثر E_1 روی مرز AlGaN و GaN زیاد باشد، E_2 مثبت نخواهد شد. در نتیجه همان‌طور که شکل ۵ نشان می‌دهد در مرز الکترون جمع نمی‌شود. بیشینه ولتاژی که در دو سر لایه AlGaN قرار می‌گیرد محدود است؛ زیرا در طرف مرز با توجه به وجود گاز



شکل ۱. ابرهای ایجاد شده در اثر دوقطبی نقطه‌بی و پیزوالکتریک و همچنین بار ناخالصی یونیزه شده.

(۱۰۰) باشد رابطه‌ی آن چنین است: [۱۵]

$$P_{pz} = 2(e_{21} - e_{22}c_{21}/c_{22})u_{xx} \quad (2)$$

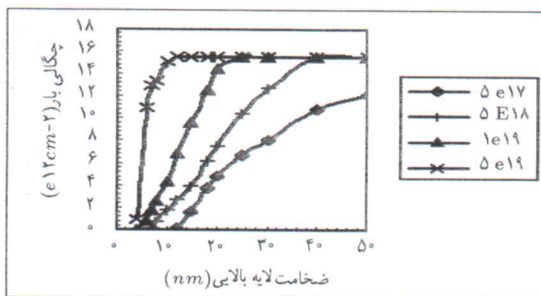
که در آن c_{21} و e_{22} ثابت‌های پیزوالکتریک و u_{xx} مؤلفه‌ی فشار هستند. شکل ۱ ابرهای ایجاد شده در اثر قطبی شدگی نقطه‌بی و پیزوالکتریک را نشان می‌دهد. E_1 و E_2 به ترتیب میدان الکتریکی در سطح فوقانی وزیرین AlGaN هستند.

برای شبیه‌سازی از برنامه‌ی دوبعدی SILVACO استفاده شده که معادلات رانش - نفوذ را همراه با معادله‌ی پواسون حل می‌کند. البته در این برنامه نمی‌توان اثر قطبی شدگی را مستقیماً وارد کرد. راه حل انتخاب شده این بوده است که چگالی ترازهای تله طوری اضافه شده‌اند که بتوانند اثر قطبی شدگی را در محاسبات وارد کنند. در این نوشтар یک ساختار پایه برای AlGaN فرض شده است. اثر تغییرات پارامترهای مختلف مثل چگالی ناخالصی، ضخامت این لایه، درصد Al و تغییرات در سطح بالای لایه بررسی می‌شود. در ساختار پایه ضخامت لایه‌ی 18AlGaN نانومتر فرض می‌شود که ۵ نانومتر بالا و ۳ نانومتر پایین بدون ناخالصی، و در 10 نانومتر بقیه چگالی ناخالصی برابر 10^{19}cm^{-3} است. Al موجود 25 درصد است. [۱۶]

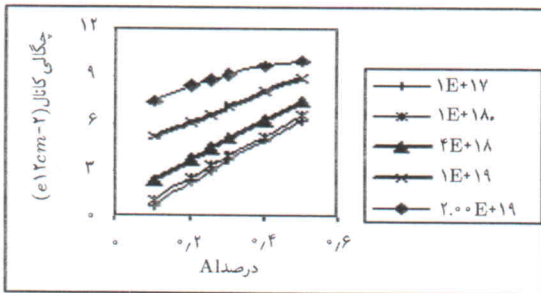
الف) اثر تغییر چگالی ناخالصی

در اثر وجود ابرهای دوقطبی در سطح بالای AlGaN یک میدان الکتریکی نسبتاً قوی E_1 در این محل وجود دارد و همان‌طور که در شکل ۲ نشان داده شده، این میدان باعث تخلیه در ناحیه‌ی دارای ناخالصی می‌شود. این میدان الکتریکی در مرز بین AlGaN و GaN، در اثر ابرهای قطبی شدگی خنثی می‌شود. از طرف دیگر وجود ابرهای دوقطبی و همچنین اختلاف E_c باعث می‌شود که الکترون‌ها در این مرز جمع شوند. وجود این ابرها باعث افت میدان E_2 می‌شود (شکل ۲).

در چگالی ناخالصی کم، بیون‌های ناحیه‌ی تخلیه میدان الکتریکی E_1 را زیاد تغییر نمی‌دهند ولی در چگالی ناخالصی بزرگ، تخلیه‌شدن فقط قسمتی از ناحیه‌ی دارای ناخالصی برای از بین بردن اثر E_1 کافی است (شکل ۳). در این حالت به غیر از ناحیه‌ی مرز، در قسمت تخلیه نشده هم الکترون وجود دارد. شکل ۴ نشان می‌دهد که تا چگالی حدود $2 \times 10^{19}\text{cm}^{-3}$ تمام ناحیه‌ی دارای ناخالصی تخلیه می‌شود.



شکل ۶. چگالی سطحی الکترون برحسب ضخامت AlGaN برای چگالی ناخالصی‌های مختلف.



شکل ۷. چگالی سطحی الکترون برحسب درصد Al برای چگالی ناخالصی‌های مختلف.

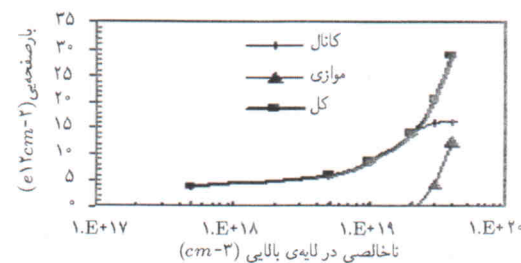
در یک چگالی ناخالص ثابت، هرچه ضخامت لایه AlGaN بیشتر شود اثر ناخالصی‌ها روی ادامه E_1 به داخل لایه AlGaN، بیشتر می‌شود. در نتیجه اثر این میدان روی مرز کمتر، و E_2 بیشتر می‌شود. این امر باعث می‌شود که چگالی گاز دو بعدی الکترون بیشتر شود. بالاخره در یک ضخامت مشخص اثر ادامه E_1 کاملاً خنثی می‌شود و اگر ضخامت بیشتر شود دیگر در ضخامت اضافه شده ناحیه تخلیه تشکیل نمی‌شود و چگالی الکترون موازی با ناحیه مرزی تشکیل می‌شود. در شکل ۶ فقط چگالی الکترون مرزی نشان داده شده است که بعد از ضخامت مشخصی این چگالی ثابت باقی می‌ماند.

ج) تغییر درصد Al

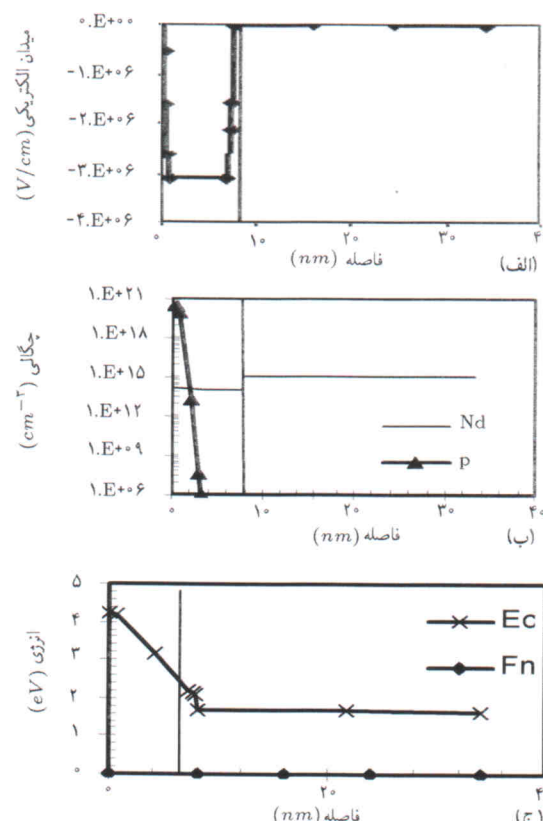
زياد شدن Al باعث زياد شدن اثر قطبی شدگی‌ها و در نتیجه زياد شدن AlGaN E_1 و E_2 می‌شود. با زياد شدن E_1 لازم است ضخامت E_1 بيشتر شود تا اثر ادامه E_1 خنثی شود. ولی زياد شدن E_2 باعث می‌شود چگالی گاز دو بعدی الکترون بيشتر شود. برای يك چگالی با ناخالصی ثابت و ضخامت ثابت، با زياد شدن درصد Al چگالی الکترون هم بيشتر می‌شود (شکل ۷).

د) اثر تغييرات در سطح

در بخش «ب» دربارهی به وجود آمدن حفره در سطح بالای AlGaN صحبت شد، ولی در هیچ آزمایشی مشاهده نشده است. علت اين موضوع می‌تواند وجود سطح تله در بدنه یا سطح AlGaN باشد [۱۸^{۱۷}].

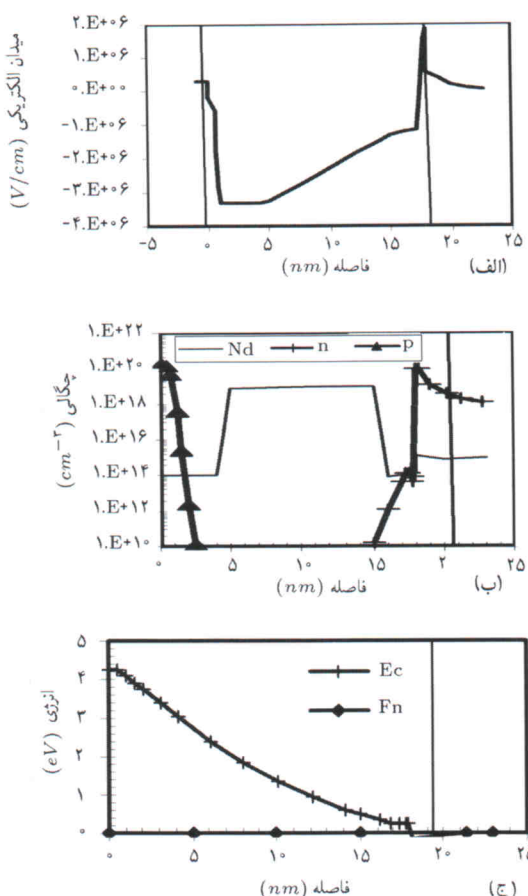


شکل ۴. چگالی سطحی الکترون نزدیک مرز AlGaN و GaN (کانال)، چگالی سطحی الکترون داخل AlGaN (موازی)، و جمع این دو چگالی (کل) برحسب چگالی ناخالصی در AlGaN.



شکل ۵. (الف) میدان الکتریکی، (ب) چگالی ناخالصی و چگالی حفره و (ج) سطح هدایت و سطح فرمی الکترون برای AlGaN با ضخامت ۰.۸nm.

دو بعدی الکترون، سطح فرمی نزدیک E_c است، و در طرف سطح بالای سطح فرمی در حالت حدی در E_v قرار می‌گیرد. بنابراین بیشینه افت ولتاژ E_g است. از طرف دیگر وقتی ضخامت لایهی AlGaN زیاد می‌شود انتگرال میدان الکتریکی در این ناحیه زیاد می‌شود. در ضخامت‌های زیاد، بهمنظور زیاد شدن افت ولتاژ AlGaN نسبت به E_g باید E_1 کم شود. همان‌طور که شکل ۵ ج نشان می‌دهد در این حالت سطح فرمی، در سطح بالا، بیشتر به E_v نزدیک می‌شود و در آنجا چگالی حفره زیاد می‌شود. این موضوع باعث می‌شود که E_1 کم شود، به طوری که انتگرال میدان حدود E_g شود.



شکل ۹. (الف) میدان الکتریکی، (ب) چگالی ناچالصی، چگالی الکترون و چگالی حفره و (ج) سطح هدایت و سطح فرمی الکترون برای سطح بالا با بارهای دوقطبی صفر درصد خنثی شده.

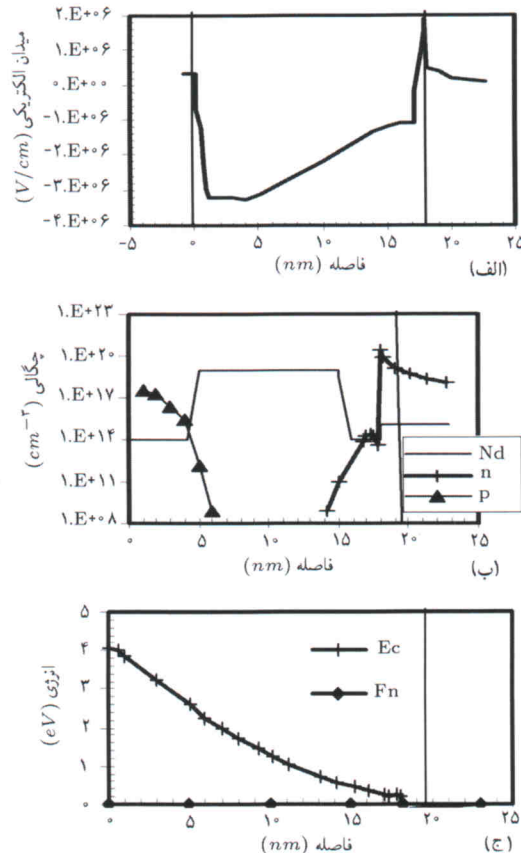
کم چگالی حفره زیادی در سطح فوقانی AlGaN تشکیل می‌شود تا مقدار E_1 را به حدی برساند که انتگرال آن در ضخامت AlGaN حدود E_g شود. در این ناحیه به علت ثابت ماندن مقدار E_1 ، اثر آن در مرز یکسان، و درنتیجه چگالی گاز الکترون ثابت است. وقتی اثر خنثی‌سازی متوسط می‌شود E_1 کمتر شده، درنتیجه اثر آن در مرز کم شده چگالی گاز الکترون زیاد می‌شود. بالاخره در خنثی‌سازی زیاد E_1 آنقدر کم می‌شود که بارهای ناچالصی می‌توانند اثر آن را خنثی کنند. درنتیجه E_1 اثری روی مرز نداشته چگالی گاز دوبعدی ثابت می‌ماند ولی چگالی الکترون موجود در ناحیه دارای ناچالصی زیاد می‌شود. شکل ۱۱ نشان می‌دهد که با تغییر چگالی ناچالصی محل اتفاق افتادن سه ناحیه تغییر می‌کند.

بررسی روش زیاد کردن ولتاژ شکست
برای این بررسی بین اتصال‌های گیت و درین ولتاژ اعمال شده، و محاسبه می‌شود که در چه ولتاژی میدان الکتریکی به مقدار حالت

که نحوه تشکیل آنها و چگالی آنها بستگی به شرایط رشد و نحوه کنترل سطح انتهایی دارد.^[۲۱-۱۹] با توجه به اینکه انرژی و چگالی ترازهای تله کاملاً مشخص نیست برای درنظر گرفتن اثر آنها می‌توان چنین فرض کرد که بر اثر وجود این ترازها مقداری از بارهای قطبی شدگی سطح بالا خنثی می‌شود.

شکل ۸ حالتی را نشان می‌دهد که 50° درصد بارهای قطبی شدگی در سطح بالا خنثی شده‌اند. سطح E_c آن، به علت اینکه بیشینه اختلاف ولتاژ دو سر AlGaN باید در حدود E_g باشد، شبیه حالت بارهای قطبی شدگی $\% ۰$ خنثی شده (یا خنثی نشده) است (شکل ۹). البته در حالت صفر درصد خنثی شدن، بار حفره بیشتری در سطح بالا جمع شده تا اثر بار بیشتر قطبی شدگی را در آنجا تاحدوی کم کند و میدان الکتریکی دو حالت شبیه هم می‌شود. وقتی که بار قطبی شدگی صدرصد خنثی می‌شود در سطح بالای E_1 برابر صفر می‌شود (شکل ۱۰). درنتیجه ناحیه دارای ناچالصی تخلیه نمی‌شود و علاوه بر وجود الکترون مرز، در این ناحیه هم الکترون وجود دارد.

همان‌طور که شکل ۳ نشان می‌دهد در درصدهای خنثی سازی



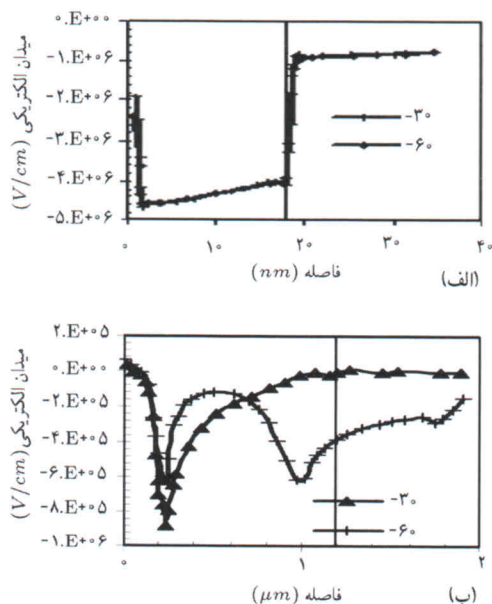
شکل ۸. (الف) میدان الکتریکی، (ب) چگالی ناچالصی، چگالی الکترون و چگالی حفره و (ج) سطح هدایت و سطح فرمی الکترون برای سطح بالا با بارهای دوقطبی 50° درصد خنثی شده.

زیادتر می‌شود. یک روش کم کردن گاز دوبعدی اضافه کردن گیت دوم است به طرقی که با اعمال ولتاژ به آن گاز دوبعدی زیر آن کم شود. روش دیگر آن است که فلز گیت بسط داده شود تا به شکل Γ در آید (شکل ۱۲).^[۲۲] در اثر اعمال ولتاژ به گیت، گاز دوبعدی زیر قسمت اضافه شده فلز گیت کم می‌شود.

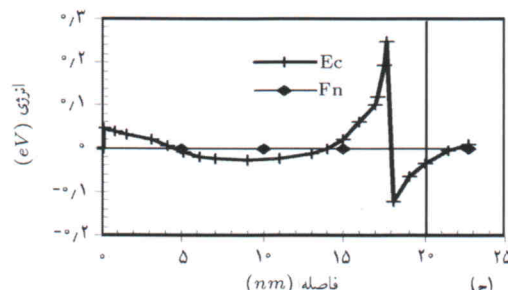
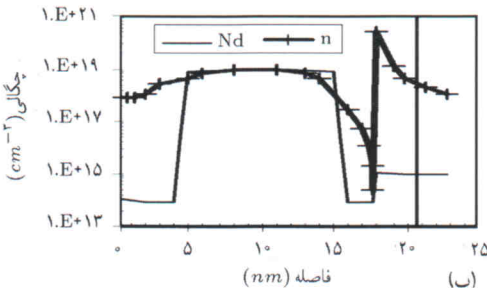
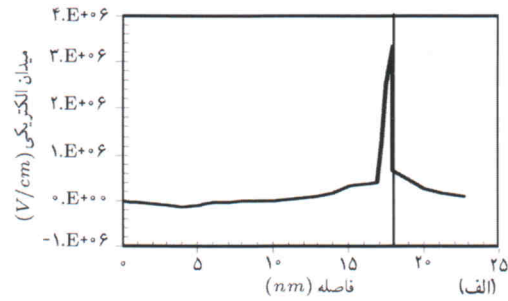
حال دو حالت فلز اتصال گیت (معمولی و گاما شکل) شبیه‌سازی شده و در مورد نحوه زیاد شدن ولتاژ شکست بحث می‌شود. میدان الکتریکی زیر گیت در شکل ۱۳ الف، و میدان الکتریکی ناحیه‌ی گاز دوبعدی در شکل ۱۳ ب نشان داده شده است. ولتاژهای اعمالی طوری انتخاب شده‌اند که میدان الکتریکی بیشینه در هر دو نوع گیت شبیه هم شود. همانطور که در شکل ۱۳ ب نشان داده شده میدان الکتریکی ناحیه‌ی گاز دوبعدی برای گیت گاما شکل بزرگ‌تر است و در نتیجه افت ولتاژ در این ناحیه بیشتر می‌شود و باعث می‌شود که



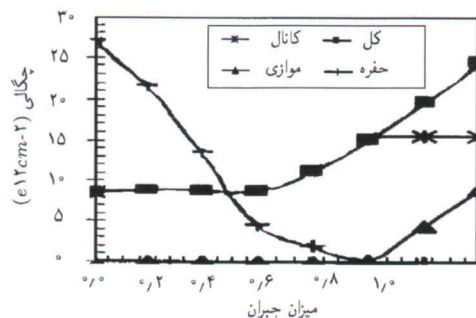
شکل ۱۲. فلز اتصال گیت.



شکل ۱۳. میدان الکتریکی در (الف) زیر گیت و (ب) چگالی داخل گاز دوبعدی برای حالت‌های گیت معمولی با ولتاژ اعمالی ۳۰ ولت و گیت گاما شکل با ولتاژ اعمالی ۶۰ ولت.



شکل ۱۰. (الف) میدان الکتریکی، (ب) چگالی ناخالصی و چگالی الکترون و (ج) سطح هدایت و سطح فرمی الکترون برای سطح بالا با بارهای دوقطبی درصد خنثی شده.



شکل ۱۱. چگالی سطحی الکترون نزدیک مرز AIGaN و GaN (کanal)، چگالی سطحی الکترون داخل AIGaN (موای)، و جمع این دو چگالی (کل) بر حسب درصد خنثی شدن سطح بالا.

بحرانی می‌رسد. کلاً ولتاژ اعمال شده برابر مجموع ولتاژ بین گیت و ناحیه‌ی گاز دوبعدی زیر گیت و ولتاژ بین گاز دوبعدی زیر گیت و درین است. اگر به طرقی کار شود که گاز دوبعدی در مسیر دوم کم شود مقاومت این مسیر زیادتر، افت ولتاژ روی آن بیشتر، و ولتاژ شکست

AlGaN بر روی چگالی گاز دوبعدی تشکیل شده در مرز بررسی شده است. با توجه به اینکه در ساختار عملی موجود، در سطح فوقانی و داخل بدنه AlGaN تله‌ها وجود دارند اثرات آنها هم بر روی گاز دوبعدی الکترونی شبیه‌سازی شده است. بالاخره یک HEMT باگیت مخصوص برای زیاد کردن ولتاژ شکست شبیه‌سازی شده و با نتیجه‌ی آزمایش مقایسه شده است.

ولتاژ شکست این نوع گیت بیشتر شود. آزمایش هم همین نتیجه را تأیید می‌کند. [۲۲]

نتیجه‌گیری

در این نوشتار چند ساختارهای AlGaN/GaN شبیه‌سازی شده است. سپس اثرات تغییر در ضخامت، چگالی ناخالصی و درصد Al در

منابع

1. Anwar, A.F.M.; Shangli Wu; Webster, R.T. , “Temperature dependent transport properties in GaN, $Al_x Ga_{1-x} N$, and $In_x Ga_{1-x} N$ semiconductors”, *IEEE Trans. On Elect. Devices*, **48**, pp. 567-572 (2001).
2. Sacconi, F.; Di Carlo, A.; Lugli, P.; Morkoc, H., “Spontaneous and piezoelectric polarization effects on the output characteristics of AlGaN/GaN heterojunction modulation doped FETs”, *IEEE Trans. On Elect. Devices*, **48**, pp.450-457 (2001).
3. Smorchkova, I. P.; Elsass, C. R.; Ibbetson, J. P.; Vetary, J. P.; Heying, B.; Fini, P.; Haus, E.; DenBaars, S. P.; Speck, J. S. and Mishra, U. K., “Polarization-induced charge and electron mobility in AlGaN/GaN heterostructures grown by plasma-assisted molecular-beam epitaxy”, *Journal of Applied Physics* **86**, pp. 4520-4526 (1999).
4. Khan, M. A.; Jessen, G.H.; Fitch, R.C.; Gillespie, J.K.; Via, G.D.; Moser, N.A.; Yannuzzi, M.J.; Crespo, A.; Sewell, J.S.; Dettmer, R.W.; Jenkins, T.J.; Davis, R.F.; Yang, J.; Binari, S.C., “High Performance 0.14 μm Gate-Length AlGaN/GaN Power HEMTs on SiC”, *IEEE Electron Device Letters*, **24**(11), pp. 677-679 (2003).
5. Kumar, V.; Lu, W.; Khan, F.A.; Schwindt, R.; Kuliev, A.; Simin, G.; Yang, J.; Asif Khan, M.; Adesida, I., “High performance 0.25 μm gate-length AlGaN/GaN HEMTs on sapphire with transconductance of over 400 mS/mm”, *Electronics Letters*, **38**, Issue 5, pp. 252-253 (28 Feb, 2002).
6. Kumar, V.; Lu, W.; Schwindt, R.; Kuliev, A.; Simin, G.; Yang, J.; Khan, M.A.; Adesida, I., “AlGaN/GaN HEMTs on SiC with fT of over 120 GHz”, *IEEE Electron Device Letters*, **23**, Issue 8, pp. 455-457 (Aug. 2002).
7. O. Ambacher, “Growth and Application of Group III-Nitrides”, *J. Phys. D*, **31**, p. 2653 (1998).
8. Xing, H.; Dora, Y.; Chini, A.; Heikman, S.; Keller, S.; Mishra, U.K., “High breakdown voltage AlGaN-GaN HEMTs achieved by multiple field plates”, *IEEE Electron Device Letters*, **25**(4), pp. 161-163 (2004).
9. Thompson, R.; Prunty, Tom; Kaper, Val; Shealy, James R., “Performance of the AlGaN HEMT structure with a gate extension”, *IEEE Transactions on Electron Devices*, **51**(2), pp. 292-295 (2004).
10. De Vittorio, M., Pot'ı, B.; Todaro, M.T.; Frassanito, M.C.; Pomarico, A.; Passaseo, A.; Lomascolo, M.; Cingolani, R., “High temperature characterization of GaN-based photodetectors”, *Sensors and Actuators A*, **113**, Issue 3, pp. 329-333 (2004).
11. Mitrofanov, O.; Manfra, M., “Mechanisms of gate lag in GaN/AlGaN/GaN high electron mobility transistors”, *Superlattices and Microstructures*, **34** pp. 33-53 (2003).
12. Karmalkara, S.; Sathaiya, D. M.; Shurb, M. S., “Mechanism of the reverse gate leakage in AlGaN/GaN high electron mobility transistors”, *Applied Physics Letters*, **82**(22), p. 3976 (2003).
13. WWW.SILVACO.COM.
14. O Ambacher,O.; J Majewski, J.; C Miskys, C; A Link, A.; M Hermann, M.; M Eickhoff, M.; M Stutzmann, M.; F Bernardini, F.; V Fiorentini, V.; V Tilak, V.; B Schaff, B. and L F Eastman, L.F., “Pyroelectric properties of Al(In)GaN/GaN hetero- and quantum well structures”, *J. Phys.: Condens. Matter* **14**, pp. 3399-3434 (2002).
15. Shur, M. S.; Bykhovski, M. S.; Gaska, R. ; Yang, J. W. ; Simin, G.; and M. A. Khan, “Accumulation hole layer in p-GaN/AlGaN heterostructures”, *Appl. Phys. Lett.* **76**, p. 3061 (2000).
16. Yu, T. H. ; and Brennan, K. F. , “Theoretical study of the two-dimensional electron mobility in strained III-nitride heterostructures”, *Journal of Applied Physics*, **89**, pp. 3827-3834 (2001).

17. Marso, M.; Wolter, M. ; Javorka, P.; Kordos~, P.; and Lu" th, H., "Investigation of buffer traps in an AlGaN/GaN/Si high electron mobility transistor by backgating current deep level transient spectroscopy", *Appl. Phys. Lett.* **82**(4), p. 633 (2003).
18. Javorkaa, P. ; Alamb, A. ; Marsoa, M. ; Woltera, M.; Kuzmika, J. ; Foxa, A.; Heukenb, M.; Kordos, P., "Material and device issues of AlGaN/GaN HEMTs on silicon substrates", *Microelectronics Journal* **34**, pp. 435-437 (2003).
19. Lee, J.; Liu, D.; Kim, H. ; Lu, W., "Post-annealing effects on device performance of AlGaN/GaN HFETs", *Solid-State Electronics*, **48**, Issues 10-11, pp. 1855-1859 (2004).
20. Luo, B.; Mehandru, R. ; Kim, J. ; Ren, F.; Gila, B.P.; Onstine, A.H.; Abernathy, C.R.; Pearton, S.J.; Gotthold, D. ; Birkhahn, R. ; Peres, B.; Fitch, R.C.; Moser, N. ; Gillespie, J.K.; Jessen, G.H.; Jenkins, T.J.; Yannuzzi, M.J. ; Via, G.D. ; Crespo, A., "Improved dc and power performance of AlGaN/GaN high electron mobility transistors with Sc₂O₃ gate dielectric or surface passivation", *Solid-State Electronics* **47**, pp. 1781-1786 (2003).
21. Bern_at, J. ; Javorka, P. ; Fox, A. ; Marso, M. ; LEuth, H. ; Kordo, P., "Effect of surface passivation on performance of AlGaN/GaN/Si HEMTs", *Solid-State Electronics* **47**, pp. 2097-2103 (2003).
22. Li, J. ; Cai, S. J.; Pan, G. Z. ; Chen, Y. L.; Wen, C. P.; and Wang, K. L. , "High breakdown voltage GaN HFET with field plate." *Electronics Letters*, **37**(3), IEE, pp. 196-197, (February, 2001).

